

# POVĚTROŇ

Královéhradecký astronomický časopis

\*

ročník 23

\*

číslo 3/2015

## The Solar System 2015

1. A 25 minute full-dome documentary about our Solar System
2. The Sun, planets and smaller bodies too, their origin and fate
3. Realistic images and animations, realistic sizes and distances
4. The most important information in brief
5. With stunning Dvořák and Smetana orchestral music
6. Suitable for school groups, and kids with adults
7. Soon in your digital planetarium

SLOVO ÚVODEM. Třetí číslo je poněkud monotematické — zabýváme se v něm pouze hydrodynamikou, čili pohybem tekutin. Ač to vypadá jako úzce vymezený obor, umožňuje nám studovat *obrovské* množství jevů, mimo jiné protoplanetární disk a vznik planet. Nakonec zařazujeme poznámku o dokumentárním filmu Sluneční soustava 2015, který byl upraven pro digitální planetária.

Miroslav Brož

## Obsah

strana

Miroslav Brož: <i>Hydrodynamika protoplanetárního disku</i> . . . . .	3
Miroslav Brož: <i>Film Sluneční soustava 2015</i> . . . . .	20

**Titulní strana** — Obraz protoplanetárního disku z filmu Sluneční soustava 2015. V planetáriu se obraz promítá na celou polokouli ( $180^\circ$ ). Objekty se zde mohou jevit zkreslené, ale pokud divák sedí v našem planetáriu uprostřed hlediště, geometrie výsledného obrazu je perfektní, bez zkreslení. Vzhledem k tomu, že taková projekce zajišťuje i periferní vidění a navíc je kopule skloněna pod úhlem  $17^\circ$ , mívá divák pocit, že se vznáší ve volném prostoru.

---

Povětroň 3/2015; Hradec Králové, 2015.

Vydala: **Astronomická společnost v Hradci Králové** (2. 1. 2016 na 299. setkání ASHK)  
ve spolupráci s **Hvězdárnou a planetáriem v Hradci Králové**

vydání 1., 20 stran, náklad 100 ks; dvouměsíčník, MK ČR E 13366, ISSN 1213–659X

Redakce: Miroslav Brož, Miloš Boček, Martin Cholasta, Josef Kujal,  
Martin Lehký, Lenka Trojanová a Miroslav Ouhrabka

Předplatné tištěné verze: vyřizuje redakce, cena 35,— Kč za číslo (včetně poštovného)  
Adresa: ASHK, Národních mučedníků 256, Hradec Králové 8, 500 08; IČO: 64810828

e-mail: [ashk@ashk.cz](mailto:ashk@ashk.cz), web: <http://www.ashk.cz>

Majíce určitou představu, že ve vesmíru existují hvězdy a okolo nich plynopachové disky, zkonstruujeme zde poměrně úplný fyzikální model tohoto disku. Budeme přitom postupovat „opačně než kolega Komenský“, čili od složitého k jednoduchému. Sepíšeme nejprve všechny relevantní rovnice, abychom je viděli v celé kráse, a teprve poté budeme diskutovat jednoduché situace.

Disk si budeme představovat jako *spořité prostředí*, což je velmi významné, nicméně obvyklé zjednodušení plynu, respektive plazmatu (obsahujícího ionty, elektrony i neutrální atomy a molekuly). Umožní nám to pro fyzikální veličiny používat diferencovatelné spořité funkce.

## Magnetohydrodynamika s přenosem záření, Eulerův popis

\*

Pro popis zvolíme Eulerův formalismus, tzn. statického pozorovatele, který sleduje proudění plynu okolo. Fyzikální zákony, které nám popisují vývoj hustoty  $\rho$  disku, rychlosti  $\mathbf{v}$  atd. od nějakého — zatím neznámého — počátečního stavu, je následující. Rovnice kontinuity (neboli zákon zachování hmoty, např. v jednotkách  $\text{kg m}^{-3} \text{s}^{-1}$ ):<sup>1</sup>

$$\underbrace{\frac{\partial \rho}{\partial t} + \mathbf{v} \cdot \nabla \rho}_{\text{derivace } f(\mathbf{r},t)} = -\rho \nabla \cdot \mathbf{v}, \quad \text{zředění} \quad (1)$$

Navierova–Stokesova rovnice pro tekutiny (též polybová,  $\text{m s}^{-2}$ ):

$$\frac{\partial \mathbf{v}}{\partial t} + \mathbf{v} \cdot \nabla \mathbf{v} = -\frac{1}{\rho} \nabla P - \nabla \Phi + \underbrace{\frac{1}{\rho \mu_{\text{vac}}} (\nabla \times \mathbf{B}) \times \mathbf{B}}_{\text{gravitace}} + \underbrace{\frac{1}{\rho} [\nabla \cdot \mu_1 \nabla \mathbf{v} + \nabla (\mu_2 + \frac{1}{3} \mu_1) \nabla \cdot \mathbf{v}]}_{\text{Lorentz}} + \underbrace{\frac{1}{\rho} \eta \nabla^2 \mathbf{v}}_{\text{viskozita}}, \quad (2)$$

rovnice tepelné rovnováhy (1. věta termodynamická,  $\text{J m}^{-3} \text{s}^{-1}$ ):

$$\frac{\partial U}{\partial t} + \mathbf{v} \cdot \nabla U = -U \nabla \cdot \mathbf{v} - P \nabla \cdot \mathbf{v} - \kappa_P \rho \frac{\sigma}{4} T^4 + \kappa_P \rho c E_{\text{rad}} - \nabla \cdot F_{\star} \hat{r} + \nabla \cdot K \nabla T, \quad \begin{array}{lllllll} \text{konvekce} & \text{zředění} & \text{práce} & \text{emise} & \text{absorpce} & \text{ozáření} & \text{vedení} \\ \overbrace{} & \overbrace{} & \overbrace{} & \overbrace{} & \overbrace{} & \overbrace{} & \overbrace{} \end{array} \quad (3)$$

<sup>1</sup> pro připomenutí, operátor gradientu jest  $\nabla \equiv \left( \frac{\partial}{\partial x}, \frac{\partial}{\partial y}, \frac{\partial}{\partial z} \right)$ , divergence  $\nabla \cdot$  (tj. skalární součin), rotace  $\nabla \times$  (vektorový součin); mějme na paměti jejich české významy: stoupání, rozšíření a stáčení, jež mohou pochopení rovnic napomoci

rovnice přenosu záření ( $\text{J m}^{-3} \text{s}^{-1}$ ):<sup>2</sup>

$$\frac{\partial E_{\text{rad}}}{\partial t} = \underbrace{\nabla \cdot \frac{c\lambda_{\text{lim}}}{\kappa_R \rho} \nabla E_{\text{rad}}}_{\text{difuze}} + \underbrace{\kappa_P \rho \frac{\sigma}{4} T^4}_{\text{emise}} - \underbrace{\kappa_P \rho c E_{\text{rad}}}_{\text{absorpce}}, \quad (4)$$

indukční rovnice ( $\text{T s}^{-1}$ ):<sup>3</sup>

$$\frac{\partial \mathbf{B}}{\partial t} = \underbrace{\nabla \times (\mathbf{v} \times \mathbf{B})}_{\text{advekce}} + \underbrace{\nabla \cdot \eta_{\text{mag}} \nabla \mathbf{B}}_{\text{difuze}}, \quad (5)$$

Poissonova rovnice ( $\text{J kg}^{-1} \text{m}^{-2}$ ):

$$\nabla^2 \Phi_{\text{disk}} = 4\pi G \rho, \quad \Phi = -\frac{GM_\star}{r} + \Phi_{\text{planet}} + \Phi_{\text{disk}}, \quad (6)$$

stavová rovnice pro ideální plyn (Pa):

$$P = (\Gamma - 1)U = \frac{\rho}{\mu m_H} kT, \quad (7)$$

rovnice pro tok záření od hvězdy (včetně zeslabování opacitou prachu a plynu;  $\text{J s}^{-1} \text{m}^{-2}$ ):

$$F_\star = \int_\omega \int_\nu B_\nu(T_\star) \left( \frac{R_\star}{r} \right)^2 e^{-\tau_\nu} d\nu d\omega, \quad \tau_\nu = \int_{R_\star}^r \kappa_\nu \rho dr. \quad (8)$$

Značení veličin je standardní:  $t$  čas,  $\mathbf{r}$  polohový vektor,  $\rho$  hustota,  $\mathbf{v}$  rychlosť,  $U$  vnitřní energie plynu (na jednotku objemu),  $E_{\text{rad}}$  hustota energie záření,  $\mathbf{B}$  magnetické pole,  $\Phi$  gravitační potenciál,  $P$  tlak,  $T$  termodynamická teplota,  $F_\star$  zářivý tok (od hvězdy),  $\mu_1$  dynamická (první) viskozita,  $\mu_2$  dynamická objemová viskozita,  $\kappa_P$  Planckova opacita,  $\kappa_R$  Rosselandova opacita,  $\sigma$  Stefanova–Boltzmannova konstanta,  $c$  rychlosť světla,  $K$  tepelná vodivost,  $\lambda_{\text{lim}}$  limiter toku,  $\eta_{\text{mag}}$  magnetická difuzivita (nepřímo úměrná vodivosti  $\sigma'$  a magnetické permeabilitě  $\mu_{\text{vac}}$ ),  $G$  gravitační konstanta,  $\Gamma$  adiabatický index,  $\mu$  střední molekulová hmotnost plynu,  $m_H$  hmotnost atomu vodíku,  $k$  Boltzmannova konstanta,  $B_\nu$  Planckova funkce (pro intenzitu),  $\nu$  frekvence,  $\omega$  prostorový úhel,  $T_\star$  efektivní teplota hvězdy,  $R_\star$  její poloměr,  $\tau_\nu$  optická tloušťka.

---

<sup>2</sup> v difuzní approximaci omezené tokem záření

<sup>3</sup> zahrnující Maxwellovy rovnice a Ohmův zákon pro kvazineutrální plazma

Jedná se o soustavu 10 nelineárních parciálních diferenciálních rovnic druhého řádu (plus 3 algebraických), jež obsahují 13 neznámých funkcí (skalárních):  $\rho(\mathbf{r},t)$ ,  $\mathbf{v}(\mathbf{r},t)$ ,  $U(\mathbf{r},t)$ ,  $E_{\text{rad}}(\mathbf{r},t)$ ,  $\mathbf{B}(\mathbf{r},t)$ ,  $\Phi(\mathbf{r},t)$ ,  $P(\mathbf{r},t)$ ,  $T(\mathbf{r},t)$ ,  $F_*(\mathbf{r},t)$ ; které jsou závislé na 4 nezávislých veličinách:  $\mathbf{r}$ ,  $t$ . Dále zde máme volné parametry:  $M_*$ ,  $R_*$ ,  $T_*$ ,  $M_{\text{planet}}$ ,  $\mu_1$ ,  $\mu_2$ ,  $\eta_{\text{mag}}$ ,  $\mu$ ,  $\Gamma$ ; a dané funkce (složité, ale dané):  $\kappa_P(\rho, T)$ ,  $\kappa_R(\rho, T)$ ,  $\kappa_\nu(\rho, T)$ ,  $\lambda_{\lim}(E_{\text{rad}}, \nabla E_{\text{rad}})$ ,  $\tau_\nu(\mathbf{r}, \kappa_\nu, \rho)$ .

K jednotlivým rovnicím si dovolíme několik „praktických“ poznámek. Rovnici (1) je možno rozumět intuitivně: mějme vlevo hustotu velkou a vpravo nulovou. Pokud vektory rychlosti směřují zleva doprava, budeme mít za chvíli vpravo nějakou látku (a vlevo nic, respektive to, co bylo vlevo od leva). Kladná rozdílnost rychlostí  $\nabla \cdot \mathbf{v}$  by přitom odpovídala růstu (elementárního) objemu  $dV$ , čili zředění a poklesu hustoty  $\rho$ .

V rovnici (2) vystupuje na pravé straně zejména gradient tlaku  $\nabla P$ , neboli makroskopický projev elektromagnetických sil mezi mikroskopickými částicemi plynu. Představme si například, že vlevo máme vyšší tlak, vpravo nižší, tudíž na ploše rozhraní jsou dvě různě velké tlakové síly opačného směru, které způsobují zrychlení  $-\frac{1}{\rho} \nabla P$ .

Lorentzův člen odpovídá klasickému vztahu  $\mathbf{F} = q(\mathbf{E} + \mathbf{v} \times \mathbf{B})$ , kde ovšem obecně  $\mathbf{v} = \mathbf{v}_{\text{nábojů}} \neq \mathbf{v}_{\text{plynu}}!$  V plazmatu je makroskopické elektrické pole  $\mathbf{E} = \mathbf{0}$  a hustotu proudu  $\mathbf{j} = q\mathbf{v}$  lze vyjádřit z Ampérova zákona  $\mu_{\text{vac}} \mathbf{j} \doteq \nabla \times \mathbf{B}$ .

Viskózní člen se zde objevuje proto, že mezi vrstvami tekutiny proudícími různými rychlostmi vznikají třecí síly; síla na jednotku plochy se označuje jako *napětí* (s jednotkou Pascal). Pro obvyklé (newtonovské) tekutiny je přitom tření úměrné rozdílu rychlostí, čili  $\mu_1 \nabla \mathbf{v}$ . Napětí odlišná místo od místa pak vedou ke zrychlení  $\frac{1}{\rho} \nabla \cdot \mu_1 \nabla \mathbf{v}$ .<sup>4</sup>

Rovnice (3) jest obdobou (1), jen zde namísto hustoty hmoty  $\rho$  vystupuje hustota energie  $U$ . Pak jsme museli dle 1. věty termodynamické ( $dU = -dW + dQ$ ) připsat mechanickou práci vykonanou plynem ( $-PdV$ ) a všechny zdroje tepla.

Skutečnost, že při emisi záření hraje roli opacita, se může zdát podezřelá, ale to je způsobeno skutečností, že emisní koeficient je za předpokladu lokální termodynamické rovnováhy dán Kirchhoffovým zákonem,  $j_\nu = \kappa_\nu B_\nu$ .

Tok tepla je podle Fourierova zákona úměrný gradientu teploty, respektive  $\mathbf{F}_{\text{heat}} = -K \nabla T$ , neboť teplo teče z místa s vyšší teplotou do místa s nižší teplotou. Pokud se tok navíc rozdílí ( $\nabla \cdot \mathbf{F}_{\text{heat}}$  je kladná), děje se tak na úkor vnitřní

---

<sup>4</sup> Tato molekulární viskozita sice bývá v protoplanetárním disku zanedbatelná, ale jak uvidíme dále, magneto-rotační nestabilita dává vzniknout vírům. Pokud s těmito víry nechceme detailně počítat, lze je zohlednit jako zvýšenou (makroskopickou) viskozitu, která vůbec zanedbatelná není.

energie  $U$ , proto je výsledné znaménko +. Toto platí obecněji pro difuzi čehokoliv, nejen tepla, ale též záření, částic, magnetického pole.

Kdybychom chtěli, lze ze (3) odvodit klasickou rovnici vedení tepla. Pro statickou pevnou látku by totiž bylo  $\mathbf{v} = \mathbf{0}$ ,  $\rho = \text{konst.}$  (jde pak o parametr), též  $V = \text{konst.}$  Stačilo by psát  $\frac{\partial U}{\partial t} = K\nabla^2 T$  a použít jinou stavovou rovnici,  $U = \rho c_V T$ .

V rovnici (4) není advekce, protože difuze záření (rychlostí  $c$ ) probíhá mnohem rychleji. Emise a absorpcie jsou zde pochopitelně s opačným znaménkem než v rovnici (3), která se týká plynu.

Gravitační potenciál v rovnici (6) je zaveden tak, že zrychlení  $\mathbf{a}_g = -\nabla\Phi$ .

Uvědomme si, že výše uvedené rovnice jsou *velmi obecné!* S výjimkou kvantovky a relativity v sobě zahrnují (témař) celou klasickou fyziku, popisující většinu jevů v našem okolí i ve vesmíru. Nicméně i tak musíme být obezřetní, protože některé členy jsou platné pouze ve stavu (lokální) termodynamické rovnováhy.

## Vliv častic a dalších fyzikálních jevů \*

Při numerickém řešení rovnic máme vždy omezené rozlišení, což si obvykle vynucuje odlišení „malých“ pevných častic (prachu, balvanů, planetesimál, planet) od plynu (tzv. spojitého prostředí).

Někdy musíme přidat další rovnice, respektive členy v rovnicích, abychom postihli „méně důležité“ fyzikální jevy, které však mohou být v dané situaci (pro vysvětlení určitého pozorování) zcela zásadní, například:

- neinerciální členy, pokud bychom pracovali nějaké v neinerciální souřadnicové soustavě, například rotující úhlovou rychlosť  $\vec{\Omega}$ :

$$\mathbf{a}_{\text{neinerciální}} = -\overbrace{\vec{\Omega} \times (\vec{\Omega} \times \mathbf{r})}^{\text{odstředivé}} - \overbrace{2\vec{\Omega} \times \mathbf{v}}^{\text{Coriolis}}, \quad (9)$$

- kde první člen je opravdu  $-\vec{\Omega} \times (\vec{\Omega} \times \mathbf{r}) = \vec{\Omega} \times (\mathbf{r} \times \vec{\Omega}) = \mathbf{r}\vec{\Omega} \cdot \vec{\Omega} - \vec{\Omega}\vec{\Omega} \cdot \mathbf{r} = \Omega^2 \mathbf{r}_\perp$   
podle vektorové identity „bác mínuš cáb“;
- pohyb častic, jejich vzájemná gravitace:

$$\mathbf{a}_j = \sum_{i \neq j} -\frac{GM_i}{r_{ij}^3} \mathbf{r}_{ij}, \quad (10)$$

pro řešení je dobré používat symplektický integrátor;

- vazba částice  $\leftrightarrow$  plyn, skrzevá gravitaci  $\boldsymbol{a}_{\text{částice}} \doteq \int_{\text{disk}} -\frac{GdM}{r^3} \boldsymbol{r}$ , a aerodynamické tření dle Epsteinova nebo Stokesova zákona:

$$\boldsymbol{a}_{\text{Epstein}} = -S\rho v_T(\boldsymbol{u} - \boldsymbol{v}) \quad \text{pro } D \ll \ell, \quad (11)$$

$$\boldsymbol{a}_{\text{Stokes}} = -\frac{1}{2}CS\rho|\boldsymbol{u} - \boldsymbol{v}|(\boldsymbol{u} - \boldsymbol{v}) \quad \text{pro } D \gg \ell, \quad (12)$$

- kde  $S$  označuje průřez částice,  $D$  průměr,  $C$  koeficient odporu,  $v_T$  termální rychlosť (plynu),  $\boldsymbol{u}$  rychlosť částice,  $\boldsymbol{v}$  rychlosť plynu a  $\ell$  střední volnou dráhu molekul (plynu);
- vzájemné srážky častic, fragmentace nebo akrece, popsané relacemi  $\frac{dM}{dt}(M)$ ,  $\frac{d\boldsymbol{v}}{dt}(M)$ , používají se simulace Monte-Carlo nebo samostatná hydrodynamika;
  - tlak záření  $P_{\text{rad}} = \frac{1}{3}aT^4$ ,  $P = P_{\text{gas}} + P_{\text{rad}}$ ;
  - radiační zrychlení,  $\boldsymbol{a}_{\text{rad}} \doteq \frac{\kappa_R}{c} \boldsymbol{F}_{\text{rad}}$ , přičemž tok už známe,  $\boldsymbol{F}_{\text{rad}} = \frac{c\lambda_{\text{lim}}}{\kappa_R \rho} \nabla E_{\text{rad}}$ ;
  - viskózní ohřev, čili  $\boldsymbol{S} \cdot \frac{1}{2}[\nabla \boldsymbol{v} + (\nabla \boldsymbol{v})^T]$ , kde tenzor napětí  $\boldsymbol{S}$  je týž jako ve viskózním členu  $\frac{1}{\rho} \nabla \cdot \boldsymbol{S}$ ;
  - rezistivní ohřev,  $\boldsymbol{j} \cdot \boldsymbol{E} \doteq \frac{1}{\sigma} \boldsymbol{j} \cdot \boldsymbol{j} \doteq \frac{\mu_{\text{vac}}}{\sigma} (\nabla \times \boldsymbol{B})^2$ , dle Ohmova a Ampérova zákona, kde  $\boldsymbol{j}$  označuje hustotu proudu a  $\boldsymbol{E}$  elektrické pole;
  - anizotropní vedení tepla a jeho saturace,  $\nabla \cdot \boldsymbol{F}_{\text{heat}}$ ,  $\boldsymbol{F}_{\text{heat}} = \frac{F_{\text{sat}}}{F_{\text{sat}} + |\boldsymbol{F}|} \boldsymbol{F}$ ,  $\boldsymbol{F} = K_{\parallel}(\boldsymbol{b} \cdot \nabla T) + K_{\perp}[\nabla T - \boldsymbol{b}(\boldsymbol{b} \cdot \nabla T)]$ ,  $F_{\text{sat}} = 5\phi\rho c_s^3$ , kde  $\boldsymbol{b} \equiv \frac{\boldsymbol{B}}{|\boldsymbol{B}|}$ ,  $c_s = \sqrt{\Gamma \frac{\partial P}{\partial \rho}}$  označuje rychlosť zvuku a  $\phi < 1$  je volný parametr;
  - radiaktivní rozpad,  $\rho_{\text{decay}}(X, Y, Z)$ , se změnami abundancí  $\frac{\partial Z}{\partial t} = \sum_k \frac{\epsilon_k}{\alpha_k}$ ;
  - částicová difuze,  $\frac{\partial n}{\partial t} = \nabla \cdot D \nabla n$ ,  $D = \frac{1}{3}\ell v_T$ , kde  $n$  označuje koncentraci,  $D$  difuzní koeficient,  $\ell$  střední volnou dráhu,  $v_T$  termální rychlosť;
  - fázové přeměny, depozice plynu a sublimace pevných častic;
  - chemické reakce, případně jejich katalyzace zářením nebo povrchy;
  - Hallův jev, čili člen  $-\nabla \times (\frac{1}{en_e} \boldsymbol{j} \times \boldsymbol{B})$  v indukční rovnici (5) (Armitage 2010);
  - ambipolární difuze,  $+\nabla \times (\frac{1}{\gamma \rho_i \rho} (\boldsymbol{j} \times \boldsymbol{B}) \times \boldsymbol{B})$  tamtéž, v řidším prostředí, tj. při nižší frekvenci srážek, se neutrální částice mohou pohybovat systematicky jinak než ionty, což se projeví jako tření, skrze koeficient  $\gamma \equiv \langle \sigma v_i \rangle / (m_i + m_n)$ .
  - změny ionizace a rekombinace, popsané rovnovážnou Sahovou rovnicí:

$$\frac{X_i^2}{1 - X_i} n_e = \left( \frac{2\pi m_e k T}{h^2} \right)^{\frac{3}{2}} e^{-\frac{\chi}{kT}}, \quad (13)$$

kde  $X_i$  označuje stupeň ionizace, a  $\chi$  ionizační energie atomu. Nepřímo je ovlivněna i stavová rovnice prostřednictvím  $\mu(\rho, T, X, Y, Z)$  a tamtéž bychom měli správně zohlednit degeneraci elektronového plynu faktorem  $\lambda_{\text{deg}}(\rho, T)$ ;

- termonukleární reakce včetně ztrát energie neutriny,  $\rho\epsilon_{\text{nukl}}(\rho, T, X, Y, Z) - \rho\epsilon_\nu$ , a odpovídající rovnice pro změny chemického složení (abundancí  $X$  vodíku,  $Y$  helia a  $Z$  těžších prvků, resp. jednotlivých izotopů):<sup>5</sup>

$$\frac{\partial X}{\partial t} = \sum_i \frac{\epsilon_i}{\alpha_i}, \quad \frac{\partial Y}{\partial t} = \sum_j \frac{\epsilon_j}{\alpha_j}, \quad \frac{\partial Z}{\partial t} = \sum_k \frac{\epsilon_k}{\alpha_k}. \quad (14)$$

Čtenář se přečtením tohoto řádku vzdává jakéhokoliv nároku na úplnost výčtu...

## Vztah Eulerova a Lagrangeova formalismu \*

Alternativně bychom mohli použít Lagrangeův formalismus, tzn. souhybného pozorovatele, který se líně nechává unášet proudící tekutinou. Neznámé jsou pak *trajektorie* (nekonečného množství) bodů kontinua  $\mathbf{r}(\mathbf{r}_0, t)$ , respektive  $\rho(\mathbf{r}_0, t)$ ,  $\mathbf{v}(\mathbf{r}_0, t)$ , apod. pro další veličiny, všechny závislé na čase  $t$  a „indexované“ například počátečními polohami  $\mathbf{r}_0$  (v čase  $t = 0$ ).

Namísto parciálních derivací  $\frac{\partial}{\partial t}$  a vlastně celých levých stran bychom užili totálních  $\frac{d}{dt}$ , jejichž vztah plyne z derivace funkce  $\phi(\mathbf{r}, t)$  dvou proměnných:

Lagrange	$v_i$	Euler
$\widehat{\frac{d\phi}{dt}} = \frac{\partial\phi}{\partial t} + \frac{\partial\phi}{\partial x_i} \widehat{\frac{dx_i}{dt}}$	$= \widehat{\frac{\partial\phi}{\partial t}} + \widehat{\mathbf{v} \cdot \nabla \phi}$	

Polohy  $\mathbf{r}$  lze posléze spočítat z  $\mathbf{v}$  jako:

$$\mathbf{r}(\mathbf{r}_0, t) = \mathbf{r}_0 + \int_{t_0}^t \mathbf{v}(\mathbf{r}_0, t') dt'.$$

V dalším zůstaneme u našeho Eulera, nicméně je dobré tušit, že existují kódy využívající Lagrange.<sup>6</sup> Výhodou Lagrangeova popisu mj. je, že nemusíme předem konstruovat (zbytečně rozlehlou) fixní síť bodů, zvlášť když předem nevíme,

<sup>5</sup> Po zahrnutí posledně jmenovaných jevů již můžeme počítat *celý* vývoj hvězd, včetně jednorozměrné hydrostatické approximace, konvekce, hvězdného větru, trojrozměrné struktury, rotace, magnetického dynamika, případných vnějších vlivů ( $\Phi_{\text{dvoj}*}, F_{\text{dvoj}*}$ ). Na druhou stranu je nutné připustit, že některé jevy, například erupce, rekonexe, výboje, resp. pohyb svazků částic, jsou natolik *nerovnovážné*, že předpoklad LTE bychom museli opusit a mj. bychom nesměli vůbec používat teplotu  $T$ , nýbrž „divoké“ distribuční funkce jednotlivých veličin.

<sup>6</sup> Aby se Euler a Lagrange nepletli, je potřeba se podívat na jejich podobizny. Lagrange se zdá hubenější a asketičtější, nebude mu tedy dělat problém jít sledovat trajektorie. Naopak Euler je na první pohled „tlustší a línější“, ten se za žádnou cenu nikam nepohně.

kam se body kontinua dostanou. Opačně řečeno, výhodou Eulerova popisu je, že pokud nás eminentně zajímá jen omezená oblast prostoru, nepočítáme zbytečně trajektorie, které stejně skončí mimo ni.

## Kelvinova–Helmholtzova nestabilita \*

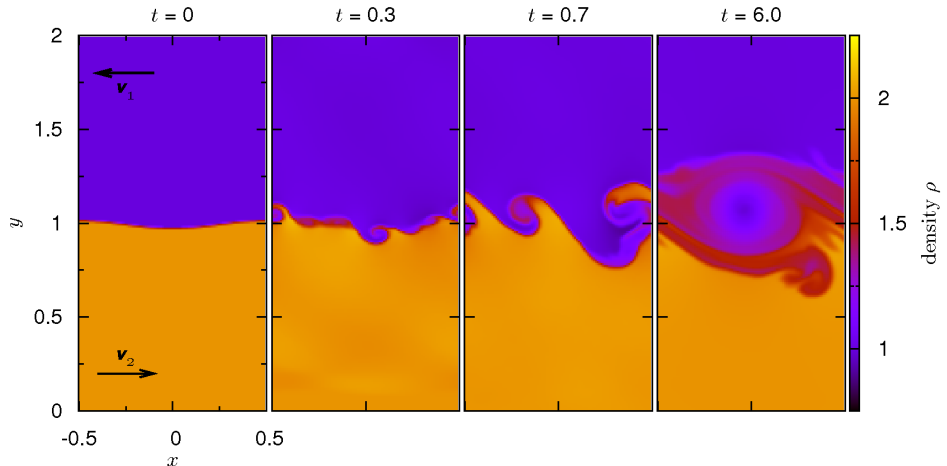
Řešení hydrodynamických rovnic vykazují několik zásadních nestabilit, z nichž nejzákladnější je Kelvinova–Helmholtzova. Vzniká již ve velmi jednoduché situaci<sup>7</sup>: dvě vrstvy nestlačitelné kapaliny, jedna proudící tam a druhá zpět, bez gravitace. Z celé soustavy (1) až (6) nám zůstanou jen dvě „očesané“ rovnice:

$$0 = \nabla \cdot \mathbf{v},$$

$$\frac{\partial \mathbf{v}}{\partial t} + \mathbf{v} \cdot \nabla \mathbf{v} = -\frac{1}{\rho} \nabla P.$$

Jak vidíme z numerického řešení (obr. 1), jedná se o (významný) zdroj turbulence neboli víru. Není možno nevědět, že vlny na moři jsou způsobené právě tímto jevem.

U každé nestability bychom si měli také uvědomit, co omezuje její růst. V tomto případě je samoomezující, velikost víru je dána počátečními podmínkami a parametry problému.



**Obr. 1** — Vývoj Kelvinovy–Helmholtzovy nestabilita z počáteční malé perturbace rozhraní. Počáteční podmínky (v bezrozměrných jednotkách):  $\rho_1 = 1$ ,  $\rho_2 = 2$ ,  $P_1 = P_2 = 10$ ,  $\mathbf{v}_1 = (-1, 0)$ ,

<sup>7</sup> Pozor na implikaci! Neznamená to, že nevzniká ve složitějších situacích.

$\nu_2 = (+1,0)$ . Okrajové podmínky: vlevo a vpravo periodické, nahoře a dole  $\frac{\partial \rho}{\partial t} = 0$ ,  $\frac{\partial \mathbf{v}}{\partial t} = \mathbf{0}$ ,  $\frac{\partial P}{\partial t} = 0$ . Stavová rovnice v tomto případě odpovídala ideálnímu plynu. Výpočet byl proveden programem Pluto (Mignone aj. 2007) ve dvou rozměrech, v síti  $100 \times 200$  bodů.

## Rayleighova–Taylorova nestabilita \*

Pro vznik druhé, Rayleighovy–Taylorovy nestability je třeba: hustší nestlačitelná kapalina nahoře, řidší dole, to vše v gravitačním poli. Příslušné rovnice jsou:

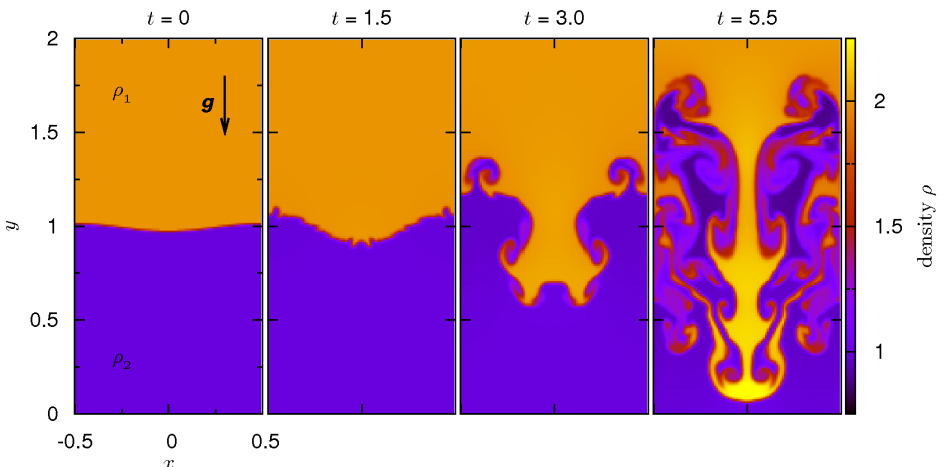
$$0 = \nabla \cdot \mathbf{v},$$

$$\frac{\partial \mathbf{v}}{\partial t} + \mathbf{v} \cdot \nabla \mathbf{v} = -\frac{1}{\rho} \nabla P - \nabla \Phi.$$

Vývoji (obr. 2) je možno rozumět následovně: jde o stav s vyšší energií, který samovolně přejde do stavu s nižší energií a vyšší neuspořádaností (entropií). S ohledem na Archimédův zákon se tato nestabilita nazývá též *vztlaková*. Pokud bychom řešili zároveň tepelnou rovnováhu (3) a viděli bychom transport vnitřní energie, hovořili bychom o *konvekci*.

Při vývoji nestability RT vždy dochází ke vzájemným pohybům tekutin, čili se nevyhnutelně objeví i nestabilita KH. Obě nestability (kouřící komín) běžně kreslí děti v mateřské školce, rodiče jim pouze zatajili, oč se jedná.

Nestabilitu obvykle omezuje až hranice (resp. okraj výpočetní domény). V atmosféře bývá vytvářena přirozeně teplotním zvrstvením či zvratem.



**Obr. 2** — Vývoj Rayleighovy–Taylorovy nestability z počáteční malé perturbace rozhraní. Protože dochází ke vzájemným pohybům tekutiny, nevyhnutelně se objeví i nestability Kelvinovy–

Helmholtzovy. Počáteční podmínky:  $\rho_1 = 2$ ,  $\rho_2 = 1$ ,  $\Phi = y$ , resp.  $\mathbf{g} = -\nabla\Phi = (0, -1)$ ,  $P(y)$  odpovídá hydrostatické rovnováze,  $\mathbf{v}_1 = \mathbf{v}_2 = (0, 0)$ . Okrajové podmínky: vlevo a vpravo periodické, nahoře a dole  $\frac{\partial P}{\partial t} = 0$ ,  $\frac{\partial \mathbf{v}}{\partial t} = \mathbf{0}$ ,  $\frac{\partial P}{\partial t} = 0$ . Stavová rovnice odpovídá ideálnímu plynu.

Výpočet programem Pluto ve dvou rozměrech, v síti  $100 \times 200$  bodů.

## Magneto–rotační nestabilita

\*

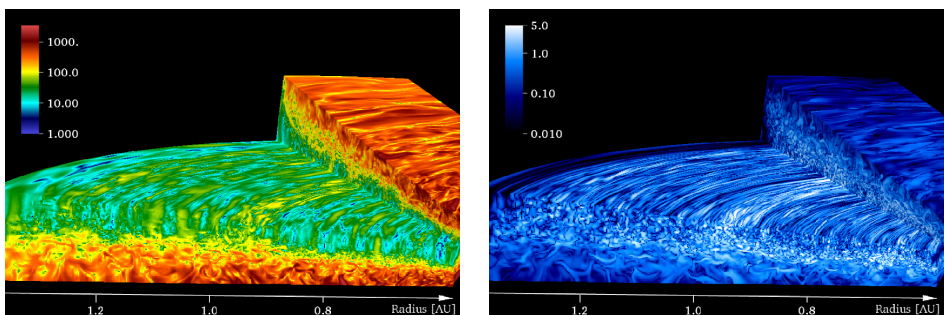
Třetí nestabilita, magneto–rotační (Balbus a Hawley 1991, angl. MRI) vyžaduje přinejmenším toto nastavení: nestlačitelná kapalina, axiálně symetrický disk, bez vlastní gravitace, diferenciální rotace, vertikální magnetické pole, bez difuze. Čili:

$$\begin{aligned} 0 &= \nabla \cdot \mathbf{v}, \\ \frac{\partial \mathbf{v}}{\partial t} + \mathbf{v} \cdot \nabla \mathbf{v} &= -\frac{1}{\rho} \nabla P - \nabla \Phi_* + \frac{1}{\rho \mu_{\text{vac}}} (\nabla \times \mathbf{B}) \times \mathbf{B}, \\ \frac{\partial \mathbf{B}}{\partial t} &= \nabla \times (\mathbf{v} \times \mathbf{B}). \end{aligned}$$

Disk s rozvinutou nestabilitou je znázorněn na obr. 3. Podotkněme, že předpoklad „bez difuze“ nutně znamená nemalý stupeň ionizace látky, jinak by Lorentzův člen byl irelevantní.

Dostatečný stupeň ionizace je v blízkosti Slunce, daleko od Slunce (i díky kosmickému záření), též na povrchu disku ozařovaného UV, ale není jisté, zda uprostřed. Tam může existovat *mrtvá zóna*, v níž MRI nefunguje a disk není (tak) turbulentní.

Nestabilitu rozvíjející se za výše uvedených podmínek omezuje až hranice (zde tloušťka disku) nebo difuzní člen, kdybychom ho měli.



**Obr. 3** — Magneto–rotační nestabilita v protoplanetárním disku, projevující se jako turbulence rychlosti  $|\mathbf{v}|$  (v jednotkách m/s, vlevo) a složitá struktura magnetického pole  $|\mathbf{B}|$  (v jednotkách Gauss =  $10^{-5}$  T, vpravo). Převzato z Flock aj. (2013).

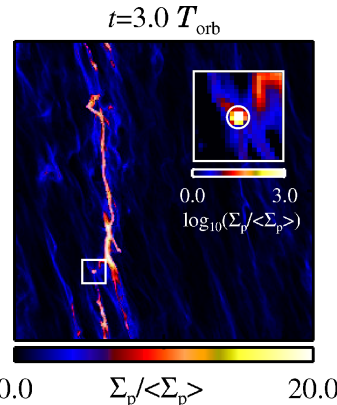
Pozoruhodná nestabilita vzniká pro dvě proudění s určitou vazbou (Youdin a Johansen 2007, angl. streaming instability). V našem kontextu jde o plyn a prach a vazbou jest aerodynamické tření, obojí pod vlivem gravitace centra.

Příslušná nestabilita se nazývá též „dvoutekutinová“, popisujeme-li prach jako tekutinu (s hustotou  $\rho_S$  a rychlostí  $\mathbf{u}$ ).<sup>8</sup> Plyn nemusí být nutně stlačitelný, ale prach ano, což zní podezřele, ale nejedná se samozřejmě o stlačování zrn, nýbrž o jejich soustřeďování v prostoru:

$$\begin{aligned} \frac{\partial \rho_S}{\partial t} + \mathbf{u} \cdot \nabla \rho_S &= -\rho_S \nabla \cdot \mathbf{u}, \\ \frac{\partial \mathbf{u}}{\partial t} + \mathbf{u} \cdot \nabla \mathbf{u} &= -\nabla \Phi_\star - S \rho v_T (\mathbf{u} - \mathbf{v}), \\ 0 &= \nabla \cdot \mathbf{v}, \\ \frac{\partial \mathbf{v}}{\partial t} + \mathbf{v} \cdot \nabla \mathbf{v} &= -\frac{1}{\rho} \nabla P - \nabla \Phi_\star + S \rho_S v_T (\mathbf{u} - \mathbf{v}). \end{aligned}$$

V Navierově–Stokesově rovnici pro prach jsme použili Epsteinův zákon a v rovnici pro plyn totéž s faktorem  $-\frac{\rho_S}{\rho}$ , kvůli zachování hybnosti. Často se namísto globálních simulací provádějí lokální, v korotujícím systému, s diferenciální rotací.

Oscilace  $\rho_S$  (i  $\rho$ ) vytvářejí tak vysoká lokální maxima, že v nich gravitační nestabilita (kolaps) prachu nebo balvanů může vést ke vzniku planetesimál nebo rovnou planetárních embryí (viz obr. 4).



**Obr. 4** — Nestabilita dvou proudění (plynu a prachu). Znázorněna je plošná hustota  $\sigma$  části disku. Převzato z Johansen a.j. (2007).

<sup>8</sup> Nestabilita ovšem přetrívá i případě, když prach popíšeme jako částice.

Je tu i jistá analogie s Tour de France — cyklista na čele cítí odpor vzduchu o ostatní „lenoši“ v závětří ho snadno dojedou. V tomto specifickém případě nestabilitu omezuje cíl.

## Gravitační nestabilita

\*

Pro kolaps jsou třeba dvě věci: stlačitelný plyn, vlastní gravitace. Dále potřebujeme rovnice:

$$\begin{aligned}\frac{\partial \rho}{\partial t} + \mathbf{v} \cdot \nabla \rho &= -\rho \nabla \cdot \mathbf{v}, \\ \frac{\partial \mathbf{v}}{\partial t} + \mathbf{v} \cdot \nabla \mathbf{v} &= -\frac{1}{\rho} \nabla P - \nabla \Phi, \\ \nabla^2 \Phi &= 4\pi G \rho,\end{aligned}$$

ze kterých je možné odvodit ještě jednu (podstatnou) podmíinku, neboli *Toomreho kritérium* pro nestabilitu (Toomre 1964):

$$Q \equiv \frac{c_s \omega_{\text{kepl}}}{\pi G \sigma_0} < 1, \quad (15)$$

kde  $c_s$  označuje rychlosť zvuku,  $\omega_{\text{kepl}} = \sqrt{GM_*/r^3}$  střední pohyb na daném polo-měru,  $\sigma_0$  počáteční plošnou hustotu disku (odvození viz Armitage 2010, str. 135).

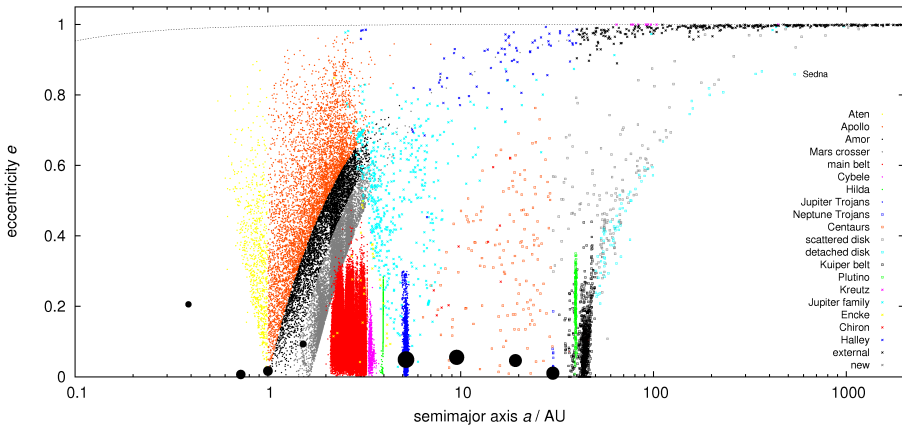
Růst  $\rho$ ,  $P$ ,  $\Phi$  nade všechny meze je sice teoreticky možný, pak bychom všichni skončili v černé díře, ale obvykle se nakonec ( $\mathbf{v} = \mathbf{0}$ ) ustaví dosti velký hydrostatický  $\nabla P$ .

## Počáteční a okrajové podmínky

\*

Výše uvedené rovnice však neobsahují jednu veledůležitou věc: počáteční podmínky! Navíc čelíme třem takřka neřešitelným problémům: (i) rovnice nelze integrovat zpět v čase kvůli termodynamicky nevratným dějům (například difuzi, srážkám, umikajícímu infračervenému záření) a deterministickému chaosu, čili nemůžeme volit čas  $t_0 = \text{dnes}$ , kdy by bylo možné něco měřit; (ii) sluneční soustava vznikla v apriori neznámém čase  $t_?$ ; (iii) v čase  $t_?$  dávno minulém beztak nelze měřit nic.

Naštěstí je možno využít skutečnosti, že: (i) chemické složení Slunce, planet a meteoritů je totožné, až na těkavé prvky (zejména H, He); (ii) radiometrické stáří primitivních meteoritů je okolo  $t = -(4,56 \pm 0,01)$  Gyr; (iii) minimální počáteční plošnou hustotu disku lze odhadnou podle pozorovaných planet, rozprostřených podél jejich druh a doplněných o zmiňované těkavé prvky. Pak již lze rozumně volit počáteční podmínky v čase  $t_0 = -4,56$  Gyr, integrovat rovnice dopředu (dodnes) a nakonec posoudit model dle souladu s pozorovanou sluneční soustavou (obr. 5).



**Obr. 5** — Pozorovaný stav sluneční soustavy znázorněný na grafu velká poloosa  $a$ , excentricita  $e$ . Symboly a barvami jsou rozlišeny planety a jednotlivé populace malých těles: asteroidy jsou označeny kroužky, transneptunické objekty čtverečky a komety krížky. Tečkovaná linie (nahore) odpovídá perihelové vzdálenosti rovné poloměru Slunce.

Poznámka na okraj: vnitřní okraj disku (ve sférických souřadnicích) obvykle volíme  $r_1 \simeq 0,1$  AU kvůli působení magnetického pole rotující hvězdy, které pod korotační orbitou skutečně vytváří mezeru v disku. Vnější okraj  $r_2 \simeq 40$  AU musí být dostatečně daleko, aby (příliš) neovlivňoval pohyb ve studované oblasti. Ve sférických souřadnicích by okrajové podmínky mohly být voleny takto:

1.  $r = r_1$  (vnitřní okraj):  $v_r = v_\vartheta = 0, v_\phi = \sqrt{GM_\star/r_1}$ , tj. keplerovská rychlosť;
2.  $r = r_2$  (vnější okraj):  $v_r = v_\vartheta = 0, v_\phi = \sqrt{GM_\star/r_2}$ ;
3.  $\vartheta = 0^\circ$  (u pólu)<sup>9</sup> zrcadlové podmínky, tzn. skaláry zůstávají totožné, normálové složky vektorů mění znaménko:  $\rho \rightarrow \rho, v_n \rightarrow -v_n, B_n \rightarrow -B_n, v_t \rightarrow v_t, B_t \rightarrow B_t$ ;
4.  $\vartheta = 90^\circ$  (na rovníku) symetrické podle roviny:  $\rho \rightarrow \rho, v_n \rightarrow -v_n, B_n \rightarrow B_n, v_t \rightarrow v_t, B_t \rightarrow -B_t$ ;
5.  $\varphi = 0^\circ = 360^\circ$  periodické.

## Formalismus v programu Pluto

\*

Pro výpočetní účely se rovnice optimalizují následovně (Mignone aj. 2007). Maximum členů vyjádříme pomocí divergence, abychom se vyhnuli výpočtem rotace, které jsou náročné a při kterých hrozí větší zaokrouhlovací chyby. Pro

<sup>9</sup> pro plochý disk je zřejmě možno volit větší hodnotu, např.  $\vartheta = 85^\circ$

přehlednost zde také předpokládáme  $\mu_1 = \mu_2 = 0$ ,  $F_\star = 0$  (tj. bez přenosu záření),  $K = 0$ ,  $\eta_{\text{mag}} = 0$ ,  $\Phi_{\text{disk}} = 0$  (beztak převažuje  $\Phi_\star$ ):<sup>10</sup>

$$\frac{\partial}{\partial t} \begin{pmatrix} \rho \\ \mathbf{p} \\ E + \rho\Phi \\ \mathbf{B} \end{pmatrix} + \nabla \cdot \begin{pmatrix} \mathbf{p} \\ \mathbf{p}\mathbf{v} - \mathbf{B}\mathbf{B} + IP \\ (E + \rho\Phi + P)\mathbf{v} - \mathbf{B}\mathbf{v} \cdot \mathbf{B} \\ \mathbf{v}\mathbf{B} - \mathbf{B}\mathbf{v} \end{pmatrix} = \begin{pmatrix} 0 \\ -\rho\nabla\Phi \\ 0 \\ \mathbf{0} \end{pmatrix}, \quad (16)$$

kde  $\mathbf{p} = \rho\mathbf{v}$  označuje hustotu hybnosti,  $E = U + \frac{1}{2}\rho\mathbf{v}^2 + \frac{1}{2\mu_{\text{vac}}}\mathbf{B}^2$  hustotu energie a  $P = P_{\text{gas}} + \frac{1}{2\mu_{\text{vac}}}\mathbf{B}^2$  celkový tlak.

Identita (16) s (1) je zřejmá:

$$\frac{\partial\rho}{\partial t} + \nabla \cdot \rho\mathbf{v} = \frac{\partial\rho}{\partial t} + \mathbf{v} \cdot \nabla\rho + \rho\nabla \cdot \mathbf{v} = 0.$$

Druhý řádek odpovídá rovnici (2) (bez  $\mu_{\text{vac}}$ , které je zahrnuto v  $\mathbf{B}$ ):

$$\begin{aligned} & \frac{\partial\rho\mathbf{v}}{\partial t} + \nabla \cdot \left( \rho\mathbf{v}\mathbf{v} - \mathbf{B}\mathbf{B} + IP_{\text{gas}} + I\frac{1}{2}\mathbf{B}^2 \right) = \\ &= \mathbf{v} \frac{\partial\rho}{\partial t} + \rho \frac{\partial\mathbf{v}}{\partial t} + \dot{\nabla} \cdot \dot{\rho}\mathbf{v}\mathbf{v} + \dot{\nabla} \cdot \rho\dot{\mathbf{v}}\mathbf{v} + \dot{\nabla} \cdot \rho\mathbf{v}\dot{\mathbf{v}} - \dot{\nabla} \cdot \dot{\mathbf{B}}\mathbf{B} - \dot{\nabla} \cdot \mathbf{B}\dot{\mathbf{B}} + \nabla P_{\text{gas}} + \frac{1}{2}2\mathbf{B} \cdot \nabla\mathbf{B} = \\ & \mathbf{v} \text{ krát (1)} \quad \quad \quad = 0 \quad \quad \quad \text{báč} \quad \quad \quad -\text{cáb} \\ &= \overbrace{\mathbf{v} \frac{\partial\rho}{\partial t} + \rho \frac{\partial\mathbf{v}}{\partial t}}^{\mathbf{v} \cdot \nabla\rho + \rho\mathbf{v} \cdot \nabla\mathbf{v}} + \overbrace{\mathbf{v}\mathbf{v} \cdot \nabla\rho + \rho\mathbf{v}\mathbf{v} \cdot \nabla\mathbf{v}}^{\mathbf{v}\mathbf{v} \cdot \nabla\mathbf{v}} + \overbrace{\rho\mathbf{v} \cdot \nabla\mathbf{v} - \mathbf{B} \overbrace{\nabla \cdot \mathbf{B}}^{\mathbf{B} \cdot \nabla\mathbf{B}}}^{\mathbf{B} \cdot \nabla\mathbf{B}} + \overbrace{\mathbf{B} \cdot \nabla\mathbf{B}}^{\mathbf{B} \cdot \nabla\mathbf{B}} + \overbrace{\nabla P_{\text{gas}} + \mathbf{B} \cdot \nabla\mathbf{B}}^{\mathbf{B} \cdot \nabla\mathbf{B}} = \\ &= \rho \left( \frac{\partial\mathbf{v}}{\partial t} + \mathbf{v} \cdot \nabla\mathbf{v} \right) + \nabla P_{\text{gas}} - (\nabla \times \mathbf{B}) \times \mathbf{B} = -\rho\nabla\Phi \quad \text{c.b.d.} \end{aligned}$$

Vezmeme nyní raději 4. řádek a rovnici (5):

$$\begin{aligned} & \frac{\partial\mathbf{B}}{\partial t} + \nabla \cdot (\mathbf{v}\mathbf{B} - \mathbf{B}\mathbf{v}) = \frac{\partial\mathbf{B}}{\partial t} + \dot{\nabla} \cdot \dot{\mathbf{v}}\mathbf{B} + \dot{\nabla} \cdot \mathbf{v}\dot{\mathbf{B}} - \dot{\nabla} \cdot \dot{\mathbf{B}}\mathbf{v} - \dot{\nabla} \cdot \mathbf{B}\dot{\mathbf{v}} = \\ &= \frac{\partial\mathbf{B}}{\partial t} + \mathbf{B}\nabla \cdot \mathbf{v} + \mathbf{v} \cdot \nabla\mathbf{B} - \mathbf{v}\nabla \cdot \mathbf{B} - \mathbf{B} \cdot \nabla\mathbf{v} = \\ &= \frac{\partial\mathbf{B}}{\partial t} - \dot{\nabla} \times (\dot{\mathbf{v}} \times \mathbf{B}) - \dot{\nabla} \times (\mathbf{v} \times \dot{\mathbf{B}}) = \frac{\partial\mathbf{B}}{\partial t} - \nabla \times (\mathbf{v} \times \mathbf{B}) \quad \text{c.b.d.} \end{aligned}$$

Nakonec rychle porovnáme 3. řádek a rovnici (3):

$$\begin{aligned} & \frac{\partial}{\partial t} \left( U + \frac{1}{2}\rho\mathbf{v}^2 + \frac{1}{2}\mathbf{B}^2 + \rho\Phi \right) + \nabla \cdot \left( U\mathbf{v} + \frac{1}{2}\rho\mathbf{v}^2\mathbf{v} + \frac{1}{2}\mathbf{B}^2\mathbf{v} + \rho\Phi\mathbf{v} + P_{\text{gas}}\mathbf{v} + \frac{1}{2}\mathbf{B}^2\mathbf{v} - \mathbf{B}\mathbf{v} \cdot \mathbf{B} \right) = \\ &= \frac{\partial U}{\partial t} \nabla \cdot U\mathbf{v} + P_{\text{gas}}\nabla \cdot \mathbf{v} + \rho\mathbf{v} \cdot \text{Navier-Stokes} + \mathbf{B} \cdot \text{indukční rce} + \Phi \text{ krát rce kontinuity} = 0, \end{aligned}$$

---

<sup>10</sup> Symboly typu  $\mathbf{v}\mathbf{B}$  (nebo  $\mathbf{B}\mathbf{v}$ ,  $\mathbf{B}\mathbf{B}$ ) jsou diády, čili tenzory druhého řádu (matice  $3 \times 3$ ) se složkami  $v_i B_j$ . Někdy bývají označované  $\mathbf{v} \otimes \mathbf{B}$ .

což bylo dokázati.

## Metoda konečných objemů (FVM)

\*

Jednou z metod používaných pro numerické řešení hydrodynamických rovnic je metoda konečných objemů (FVM, angl. finite volume method). Budeme ji zde demonstrovat na rovnici kontinuity, ale samozřejmě ji lze použít na celou soustavu rovnic (16):

$$\frac{\partial \rho}{\partial t} + \nabla \cdot \mathbf{p} = 0.$$

Provedeme integraci přes nějaký objem  $V$ :

$$\int_V \frac{\partial \rho}{\partial t} dV + \int_V \nabla \cdot \mathbf{p} dV = \int_V 0 dV,$$

a použijeme Gaussovou větu:

$$\frac{\partial \bar{\rho}}{\partial t} + \frac{1}{V} \int_S \mathbf{p} \cdot d\mathbf{S} = \bar{0},$$

kde na levé straně jsme napsali průměrnou hodnotu hustoty  $\bar{\rho}$  v onom  $V$  a na pravé straně jsme z výukových důvodů ponechali „průměrnou nulu“.

Diskretizace v prostoru spočívá ve vyjádření integrálu přes hranici  $V$ , resp. sumy přes příslušné plošky  $S$ :

$$\begin{aligned} \frac{1}{V} \int_S \mathbf{p} \cdot d\mathbf{S} &\doteq \frac{S_{i+1/2,j,k}}{V_{i,j,k}} p_{i+1/2,j,k} - \frac{S_{i-1/2,j,k}}{V_{i,j,k}} p_{i-1/2,j,k} \\ &+ \frac{S_{i,j+1/2,k}}{V_{i,j,k}} p_{i,j+1/2,k} - \frac{S_{i,j-1/2,k}}{V_{i,j,k}} p_{i,j-1/2,k} \\ &+ \frac{S_{i,j,k+1/2}}{V_{i,j,k}} p_{i,j,k+1/2} - \frac{S_{i,j,k-1/2}}{V_{i,j,k}} p_{i,j,k-1/2}, \end{aligned} \quad (17)$$

kde indexy  $i, j, k$  přísluší jednotlivým kartézským souřadnicím a mění se od 0 do počtu bodů sítě. Hodnoty  $p_{i,j,k}$  v polovinách prostorového kroku (na hranicích mezi sousedními objemy) určujeme interpolací.

Diskretizace v čase je v nejjednodušším případě:

$$\frac{\partial \rho}{\partial t} \doteq \frac{\rho^{n+1} - \rho^n}{\Delta t}.$$

Schéma explicitní vnikne tak, že v (17) použijeme staré  $\rho_{i,j,k}^n$  a  $p_{i,j,k}^n$  (tj. z minuleho časového kroku). Explicitní se jmenuje proto, že můžeme obratem vyjádřit nové  $\rho_{i,j,k}^{n+1}$ .

Ve schématu implicitním bychom všude použili nové (avšak neznámé!)  $p_{i,j,k}^{n+1}$ . Rovnice proto spolu s ostatními tvoří soustavu rovnic, kterou je třeba vyřešit. Z matematického hlediska tedy musíme provést inverzi (velké) matice. Výhodou je ovšem větší stabilita a možnost použítí většího  $\Delta t$ .

V programu PLUTO jsou implementovány metody přesně nebo přibližně řešící Riemannův problém, který spočívá v nalezení časového vývoje nespojitosti hustoty a rychlosti pro linearizované rovnice (1) a (2). Vybrat můžeme z vícero postupů (např. Roe, HLLE, HLLC).

**Škálované jednotky.** Abychom částečně předešli numerickým problémům a zaokrouhlovacím chybám, je dobré používat vhodně škálované jednotky. Například pro simulace protoplanetárního disku je můžeme volit následovně:  $[r] = a_J$ ,  $[\rho] = M_\odot/a_J^3$ ,  $[v] = \sqrt{GM_\star/a_J}/(2\pi)$ , odkud plyne  $[m] = M_\odot$ ,  $[t] = 2\pi/\sqrt{GM_\star/a_J^3}$ ,  $[P] = M_\odot GM_\star/a_J^4/(4\pi^2)$ .

## Migrace planet v plyném disku

\*

Je třeba především rozlišovat, zda se jedná o migraci v disku tvořeném plynem, nebo planetesimálami; obojí se pochopitelně chová jinak. Zde se budeme soustředit pouze na plyn a v něm vnořenou planetu. Pak lze rozlišovat tři základní typy ustálené migrace: I, II a III — tzn. bez mezery, s mezerou a s částečnou mezerou.

Asi nejsnadněji lze popsat typ II. Značná část plynu v okolí dráhy již spadla na planetu, címž se vytvořila mezera. Zároveň vznikla spirální ramena, která jsou vlastně přímou gravitační vazbou mezi planetou a diskem. Třecí neboli viskózní síly mezi rameny a zbytkem disku mají transverzální složku, která způsobuje spirálování planety dle první Gaussovy rovnice:

$$\frac{da}{dt} = -\frac{2\mathcal{T}}{n} + \mathcal{O}(e), \quad (18)$$

kde  $a$  označuje velkou poloosu planety,  $\mathcal{T}$  transverzální složku zrychlení (tj. v rovině dráhy, kolmo k radiusvektoru),  $n = \sqrt{GM_\odot}a^{-\frac{3}{2}}$  střední keplerovský po- hyb neboli úhlovou rychlosť, přičemž předpokládáme kruhovou dráhu ( $e = 0$ ). Transverzální složka je vytvářena viskózním členem v rovnici (2):

$$\mathcal{T} = \frac{1}{\rho} \frac{\partial}{\partial r} \mu_1 \frac{\partial}{\partial r} v_{\text{kepl}} = \frac{\mu_1}{\rho} \frac{\partial^2}{\partial r^2} \sqrt{GM_\odot} r^{-\frac{1}{2}} = \frac{\mu_1}{\rho} \sqrt{GM_\odot} \frac{3}{4} r^{-\frac{5}{2}},$$

což po dosazení (a obvyklé náhradě  $r \rightarrow a$ ) dává:

$$\left( \frac{da}{dt} \right)_{\text{II}} = -\frac{3\nu}{2a}, \quad (19)$$

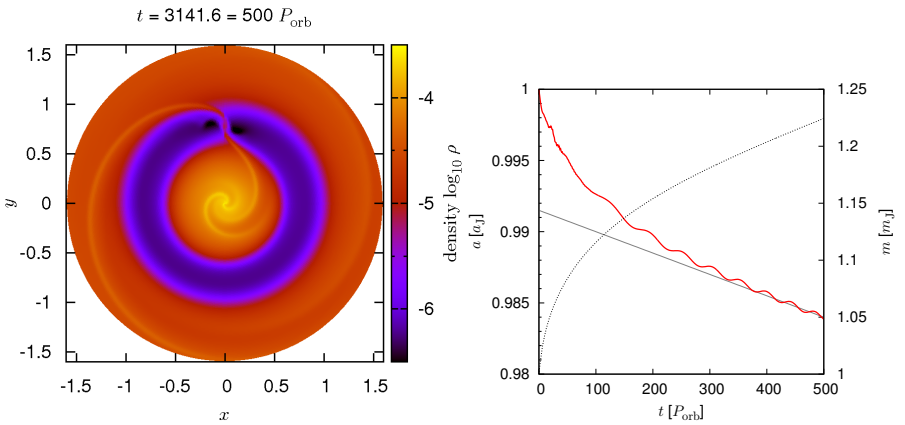
kde  $\nu \equiv \mu_1/\rho$  je kinematická viskozita. Znaménko je zde záporné, neboť k planetě je blíže vnější spirální rameno, disk tam obíhá (keplerovsky) pomaleji, čili dochází k brzdění.

Situaci pro jednu planetu ukazuje obr. 6, spočtený programem Fargo (Masset 2000). Po vytvoření mezery se vývoj ustálí a změna velké poloosy odpovídá vztahu (19). Pro dvě interagující planety (obr. 7) je situace obecně složitější. Pokud se vytvoří dvě mezery a překryjí se, vnější spirální rameno je od vnitřní planety mnohem dál, takže převažuje vliv vnitřního, kde ale disk obíhá rychleji, a zmiňovaná planeta se tedy nutně také urychluje a vzdaluje od Slunce.

**Turbulentní viskozita.** Otázkou je, jaká je hodnota viskozity? Obvyklá molekulární viskozita řídkého plynu se zdá nepatrná a planety by vlastně nemigrovaly vůbec. Turbulence ovšem efektivně způsobuje viskozitu také; i když bychom ji nebyli schopni detailně rozlišit v numerickém modelu, mohli bychom ji zahrnout jako zvýšenou hodnotu  $\nu$ . Vzhledem k tomu, jaké má  $\nu$  jednotky ( $\text{m}^2 \text{s}^{-1}$ ), je logické ji vztáhnout k nějaké rychlosti a nějakému rozměru. Je podruhé logické zvolit buď rychlosť obíhání  $v_{\text{kepl}}$ , nebo zvuku  $c_s$ , a jako rozměr výšku  $H$  disku, neboť tato omezuje maximální velikost víru. Shakura a Sunyaev (1973) navrhli parametrizaci vztahem:

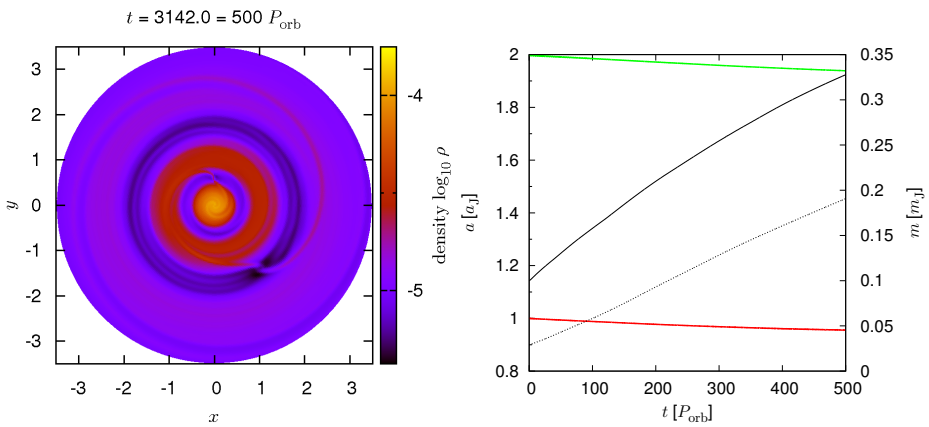
$$\nu = \alpha c_s H, \quad (20)$$

kde  $\alpha$  je bezrozměrný parametr, nabývající hodnot od 0 do řádově 1. Ze stacionárního modelu disku (Brož a Šolc 2013, str. 206) můžeme případně dosadit za  $H \simeq c_s/n_{\text{kepl}}$ . Nejdůležitějším zdrojem turbulence, a tudíž zvýšené makroskopické viskozity, je magneto-rotační nestabilita (kap. 0.0), která se rozvíjí i při slabých počátečních magnetických polích. Je to ostatně týž proces, jaký ve vesmíru nutí akreční disky akretovat.



**Obr. 6** — Plynný disk a jedna vnořená planeta, vlevo plošná hustota disku  $\sigma(x,y)$ , vpravo časový vývoj velké poloosy  $a(t)$  (znázorněn červeně) a hmotnosti  $m(t)$  planety (tečkovaně). Pro porovnání je znázorněn i pokles  $a$  dle rovnice (19), která platí poté, co se v disku vytvoří mezera. Parametry simulace byly voleny takto: hmotnost centra  $M = 1$ , poměr  $H/r = 0,05$ , plošná hustota  $\sigma = 6,37 \cdot 10^{-5} r^{-1,5}$ , kinematická viskozita  $\nu = 10^{-5}$ , planeta s počáteční velkou poloosou  $a = 1$ , orbitální periodou  $P_{\text{orb}} = 2\pi$  a hmotností  $m = 0,001$ . Rozsah poloměrů byl  $r \in (0,4; 1,6)$ , dvouzměrnou síť  $(r,\phi)$  tvořilo 128 krát 384 bodů a časový krok  $\Delta t = 0,31416$ .

Simulace programem Fargo (Masset 2000).



**Obr. 7** — Disk a dvě planety. Obdobné nastavení parametrů jako u obr. 6, s výjimkou  $r \in (0,4; 3,5)$ , 1-rozměrná síť sahající do  $r' = 20$ , planety  $a_1 = 1, m_1 = 10^{-4}, a_2 = 2, m_2 = 2,9 \cdot 10^{-5}$ .

Simulace programem Fargo.

- [1] ARMITAGE, P. J. *Astrophysics of planet formation*. New York: Cambridge University Press, 2010. ISBN 9780511691362.
- [2] BALBUS, S. A., HAWLEY, J. F. *A powerful local shear instability in weakly magnetized disks. I – Linear analysis. II – Nonlinear evolution*. *Astrophys. J.*, **376**, 214–233, 1991.
- [3] BROŽ, M., ŠOLC, M. *Fyzika sluneční soustavy*. Praha: MatfyzPress, 2013. ISBN 97880-73782368. <[http://sirrah.troja.mff.cuni.cz/~mira/fyzika\\_malych\\_teles/](http://sirrah.troja.mff.cuni.cz/~mira/fyzika_malych_teles/)>.
- [4] FLOCK, M., FROMANG, S., GONZÁLES, M., COMMERÇON, B. *Radiation hydrodynamics in global simulations of protoplanetary discs*. *Astron. Astrophys.*, **560**, A43, 2013.
- [5] JOHANSEN, A., OISHI, J. S., MAC LOW, M.–M., KLAHR, H., HENNING, T., YOUDIN, A. *Rapid planetesimal formation in turbulent circumstellar discs*. *Nature*, **448**, 1022–1025, 2007.
- [6] MASSET, F. *FARGO: A fast eulerian transport algorithm for differentially rotating disks*. *Astron. Astrophys. Suppl. S.*, **141**, 165–173, 2000.
- [7] MIGNONE, A., BODO, G., MASSAGLIA, S. AJ. *PLUTO: A numerical code for computational astrophysics*. *Astron. J. Suppl. S.*, **170**, 228, 2007.
- [8] SHAKURA, N. I., SUNYAEV, R. A. *Black holes in binary systems. Observational appearance*. *Astron. Astrophys.*, **24**, 337–355, 1973.
- [9] SHORE, S. N. *Astrophysical hydrodynamics*. Weinheim: Wiley-Vch, 2007. ISBN 97835-27406692.
- [10] TOOMRE, A. *On the gravitational stability of a disk of stars*. *Astrophys. J.*, **139**, 1217–1238, 1964.
- [11] Wikipedia. *Accretion disc* [online]. [cit. 2015-03-10]. <[http://en.wikipedia.org/wiki/Accretion\\_disc](http://en.wikipedia.org/wiki/Accretion_disc)>
- [12] YOUDIN, A., JOHANSEN, A. *Protoplanetary disk turbulence driven by the streaming instability: linear evolution and numerical methods*. *Astrophys. J.*, **662**, 613–626, 2007.

## Film Sluneční soustava 2015

Miroslav Brož

Tento krátký dokumentární film pro digitální planetária pojednává o našem planetárním systému: o Slunci, planetách a malých tělesech, o jejich vzniku i zániku. Je určen zejména žákům základních nebo středních škol. Existuje v české a anglické jazykové verzi, jeho stopáž činí 25 minut. Film je připraven ve formátu full-dome 4K (tzn. rozlišení  $4096 \times 4096$  pixelů) se snímkovou frekvencí 30 fps, což je nynější standard pro digitální planetária. Ke stažení je k dispozici archiv zip s jednotlivými obrazy (dome masters), které se posléze musejí konvertovat pro daný projekční systém. My používáme systém od firmy Carl Zeiss Jena, s pěticí projektorů Velvet — majících každý  $2560 \times 1600$  pixelů, nativní kontrast 1 : 2,5 miliónu a speciální objektivy pro projekci na sférickou plochu. Podrobnější informace jsou na adrese <<http://www.astrohk.cz/ss2015/>>.

